# 助熔剂对 CaO-Al<sub>2</sub>O<sub>3</sub> 基保护渣 理化性能的影响

李 晨1,2, 亓 捷1,2, 刘承军1,2\*, 姜茂发1,2

(1. 多金属共生矿生态化冶金教育部重点实验室, 辽宁 沈阳 110819; 2. 东北大学冶金学院, 辽宁 沈阳 110819)

摘 要:针对高铝钢用钙铝基连铸保护渣在浇铸过程中存在的渣条严重、粘结漏钢报警频发等问题,通过调整助熔剂含量,考察了以 $B_2O_3$  替代  $CaF_2$  对保护渣熔化温度、黏度及结晶性能的影响。结果表明,随着  $B_2O_3$  替代  $CaF_2$  质量分数的增加,保护渣的熔化温度和转折点温度不断降低,高温下的黏度不断提高。而且,  $CaF_2$  质量分数较高时,保护渣的析晶性能较强,高温处析出  $Ca_{12}Al_{14}O_{32}F_2$ 。随着  $B_2O_3$  取代  $CaF_2$  质量分数的增加,保护渣的析晶性能受到明显抑制,析晶物相的变化规律为  $Ca_{12}Al_{14}O_{32}F_2 \rightarrow 2CaO\cdot Al_2O_3\cdot SiO_2 \rightarrow \theta$ 一液相。 $B_2O_3$  取代  $CaF_2$  质量分数为10%时,保护渣的析晶性能得到有效抑制,可有效降低粘结报警频率,满足高铝钢种的浇铸需求。

关键词:高铝钢;连铸保护渣;黏度;析晶;助熔剂

中图分类号: TF777 文献标志码: A 文章编号: 1004-7638(2021)04-0124-07

DOI: 10.7513/j.issn.1004-7638.2021.04.021 开放科学 (资源服务) 标识码 (OSID):



听语音 聊科研

## Effect of fluxing agent on the properties of CaO-Al<sub>2</sub>O<sub>3</sub> based mold flux

Li Chen<sup>1, 2</sup>, Qi Jie<sup>1, 2</sup>, Liu Chengjun<sup>1, 2\*</sup>, Jiang Maofa<sup>1, 2</sup>

(1. Key Laboratory of Ecological Metallurgy of Multimetallic Mineral (Ministry Education), Shenyang 110819, Liaoning, China; 2. School of Metallurgy, Northeastern University, Shenyang 110819, Liaoning, China)

**Abstract:** In order to address the problems of serious slag strips and breakout alarms in the process of high-aluminum steel continuous casting using calcium-aluminum-based mold flux, the comprehensive effect of  $B_2O_3$  and  $CaF_2$  on the melting temperature, viscosity and crystalline properties were investigated. The results showed that as the mass fraction of  $CaF_2$  replaced by  $B_2O_3$  increased, the melting temperature and breaking temperature of the mold flux decreased, and the viscosity showed an increasing trend. Moreover, the mold flux had stronger crystallization ability with high content of  $CaF_2$ , leading to the precipitation of  $Ca_{12}AI_{14}O_{32}F_2$  at a high temperature. As the mass fraction of  $CaF_2$  replaced by  $B_2O_3$  increases, the crystallization ability had been obviously inhibited, and the crystalline phases changes as follows:  $Ca_{12}AI_{14}O_{32}F_2 \rightarrow 2CaO \cdot AI_2O_3 \cdot SiO_2 \rightarrow$  a single liquid phase. When  $B_2O_3$  replaces  $CaF_2$  with a mass fraction of 10%, the crystallization performance of the mold flux was effectively suppressed, which could effectively reduce the sticking breakout alarm and meet the casting requirements of high-aluminum steel.

Key words: high-aluminum steel, continuous casting mold flux, viscosity, crystallization, fluxing agent

收稿日期:2020-12-29

基金项目:国家自然科学基金项目(U1908224, 51904064, 51874082);中国博士后科学基金项目(2020T130084, 2019M661114)。

**作者简介:** 李晨(1995-), 男, 硕士生, 主要从事连铸保护渣研究, E-mail: 1043483605@qq.com; \*通讯作者: 刘承军(1974-), 男, 博士, 教授, 主要从事高品质钢研制开发与特色冶金渣系设计, E-mail: liucj@smm.neu.edu.cn。

%

## 0 引言

随着社会各行各业的快速发展,人们对先进高 强度钢需求逐渐增加。以汽车行业为例,向钢中加 入铝形成的高铝含量 TRIP 钢具有高强度、高塑性 和高加工硬化性能,能在满足安全性需求的同时实 现车身轻量化,减少汽车油耗及尾气排放,起到节能 环保的重要作用[1]。因此,以TRIP钢为代表的高铝 钢逐渐成为行业研发的热点。然而,高铝钢中 Al 含 量高达 0.5%~5%, 采用传统的 CaO-SiO, 基保护渣 进行浇铸时,结晶器内普遍存在严重的渣金界面反 应,使得保护渣的成分发生改变,恶化冶金功能,导 致铸坯质量缺陷<sup>[2]</sup>。目前,低反应性的 CaO-Al<sub>2</sub>O<sub>3</sub> 基保护渣有效减弱了渣金界面反应趋势,成为极具 潜力的新型保护渣[3],但其在浇铸过程中性能的稳 定性仍有待提高。国内某钢厂在采用含 F 的 CaO-Al<sub>2</sub>O<sub>3</sub> 基保护渣进行高铝钢连铸试生产时, 存在保护 渣析晶能力过强,浇铸过程渣条粗大、粘结报警频 发等问题,无法实现长时间、多炉次连浇。

针对上述问题,文献调研表明,通过助熔剂的调整,可有效改善其结晶性能。于雄<sup>[4]</sup>等研究了F(5.8%~8.8%)对高铝钢连铸保护渣理化性能的影响,随着F含量的增加,熔化温度和黏度均呈降低趋势,而转折点温度和析晶温度却不断增加。Yang<sup>[5]</sup>在研究F含量对CaO-Al<sub>2</sub>O<sub>3</sub>基保护渣凝固行为、黏度、结构和传热的影响中发现,随着F含量从4.0%提高至12.5%,保护渣的黏度有所降低,析晶性能有

所增强。而亓捷等<sup>[6-7]</sup> 在不同  $B_2O_3$  含量对含  $Ce_2O_3$  钙铝基保护渣理化性能的研究中发现,随着  $B_2O_3$  含量的增加,保护渣的熔化温度、黏度和转折点温度 均呈降低趋势,这也与张磊和王杏娟等人<sup>[7-8]</sup> 的研究结果相一致。此外,  $Yan^{[9]}$  等研究表明,在  $CaO-Al_2O_3$  基保护渣中,添加  $CaF_2$  或  $B_2O_3$  可降低初始结晶温度,延长结晶孕育时间。与  $CaF_2$  相比,  $B_2O_3$  具有更强的抑制  $CaO-Al_2O_3$  基保护渣结晶的能力。

综合上述分析, CaF<sub>2</sub>含量的增加将导致 CaO-Al<sub>2</sub>O<sub>3</sub> 基保护渣析晶能力增强, 而 B<sub>2</sub>O<sub>3</sub>含量的提高在一定程度上可抑制保护渣结晶性能。因此,笔者以某钢厂连铸用 CaO-Al<sub>2</sub>O<sub>3</sub> 基保护渣为基础, 研究助熔剂 CaF<sub>2</sub> 和 B<sub>2</sub>O<sub>3</sub> 在其中的综合作用规律, 通过调整二者的含量解决浇铸过程保护渣析晶能力较强, 浇铸过程渣条粗大、粘结报警频发等问题, 为高铝钢连铸保护渣的设计开发和性能改进提供了有效的理论依据。

## 1 试验过程

#### 1.1 试验原料

参考表 1 所示的国内某钢厂高铝钢连铸保护渣成分,设计不同试验渣成分如表 2 所示。其中,CaF<sub>2</sub> 添加量由 23%逐渐降至 13%, B<sub>2</sub>O<sub>3</sub>含量由 5%逐渐增加至 15%。表 1 所示各试验渣均以纯化学试剂 CaO, SiO<sub>2</sub>, Al<sub>2</sub>O<sub>3</sub>, CaF<sub>2</sub>, B<sub>2</sub>O<sub>3</sub>, Na<sub>2</sub>CO<sub>3</sub>和 Li<sub>2</sub>CO<sub>3</sub>(所有纯度 > 99.5%)为原料在重烧炉中经 1 400 ℃ 预熔—水淬制得。

表 1 国内某钢厂高铝钢连铸保护渣主要化学成分

Min chemical compositions of high-aluminum steel continuous casting mold flux in a domestic steel plant

14010 1 1/111	- chemical composition	5 01 111 <b>g</b> 11 411411111411		g	uomestre seeer plane 70
CaO	$SiO_2$	$Al_2O_3$	CaF <sub>2</sub>	$\mathrm{Li_2O}$	CaO/Al <sub>2</sub> O <sub>3</sub>
31.81	7.58	19.7	25.74	9.14	1.33

表 2 试验用高铝钢连铸保护渣化学成分
Table 2 Chemical compositions of mold flux used for high-Al steel continuous casting

序号	CaO	SiO <sub>2</sub>	$Al_2O_3$	Na <sub>2</sub> O	CaF <sub>2</sub>	Li <sub>2</sub> O	$B_2O_3$	CaO/Al <sub>2</sub> O <sub>3</sub>
S1	32	6	24	5	23	5	5	1.33
S2	32	6	24	5	18	5	10	1.33
S3	32	6	24	5	13	5	15	1.33

#### 1.2 试验方法

以预熔渣为原料,利用熔点熔速仪采用半球点 法测试渣样熔化温度;利用旋转柱体法以 RTW-10 熔体物性综合测定仪测定保护渣连续降温过程中的 黏度—温度曲线,测试过程降温速率为 3 ℃/min。 结合黏度—温度曲线,对不同特征温度下的渣样进 行水淬,利用扫描电镜、能谱分析以及 X 射线衍射分析技术对降温过程保护渣的析晶物相进行检测分析。

## 2 结果分析与讨论

#### 2.1 助熔剂含量对高铝钢保护渣熔化温度的影响

考察了各保护渣的熔化温度随  $B_2O_3$  和  $CaF_2$  含量的变化情况。发现,随着  $B_2O_3$  替代  $CaF_2$  质量分数的增加,保护渣的熔化温度由 1 200 C(S1 渣)逐渐降至 1 043 C(S2 渣)和 956 C(S3 渣)。由此可

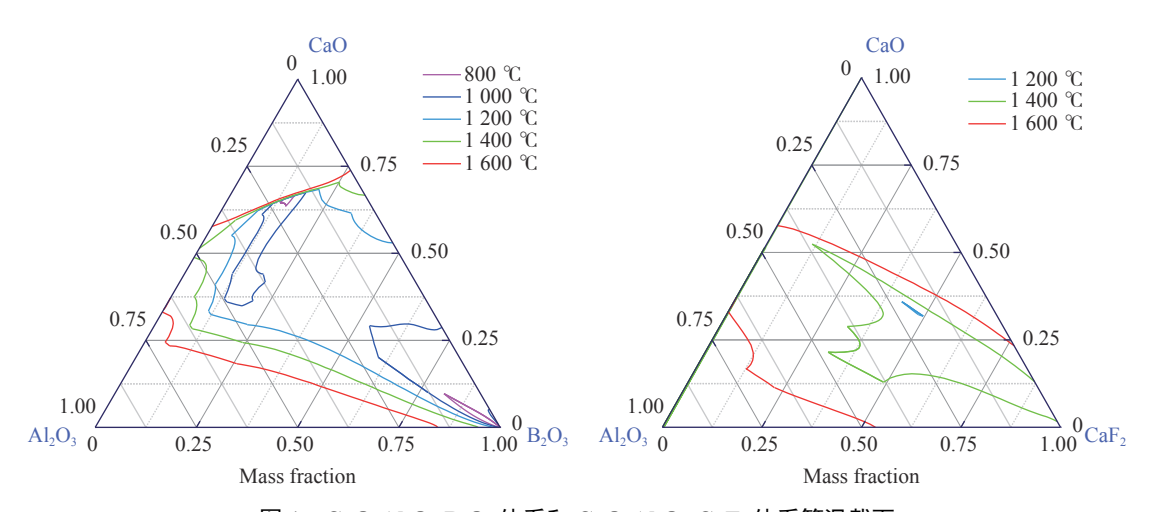


图 1 CaO-Al<sub>2</sub>O<sub>3</sub>-B<sub>2</sub>O<sub>3</sub> 体系和 CaO-Al<sub>2</sub>O<sub>3</sub>-CaF<sub>2</sub> 体系等温截面 Fig. 1 Isothermal sections of CaO-Al<sub>2</sub>O<sub>3</sub>-B<sub>2</sub>O<sub>3</sub> system and CaO-Al<sub>2</sub>O<sub>3</sub>-CaF<sub>2</sub> system

#### 2.2 助熔剂含量对高铝钢保护渣黏度的影响

图 2 为等质量  $B_2O_3$  代替  $CaF_2$  条件下保护渣的 黏度-温度曲线。表 3 为保护渣在  $1\,300\,^{\circ}$  时的黏度和黏度转折点温度。

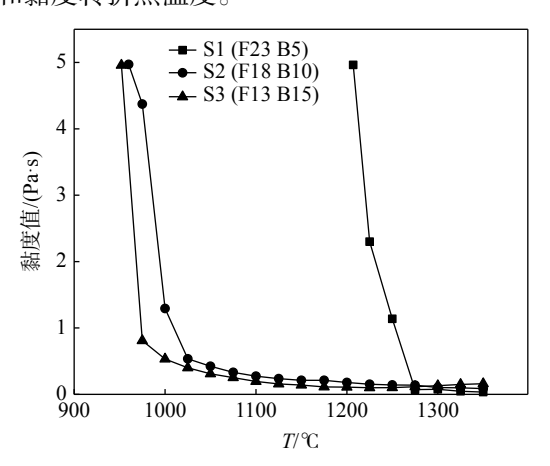


图 2 不同 B<sub>2</sub>O<sub>3</sub> 代替 CaF<sub>2</sub> 质量分数条件下保护渣的黏度-温度曲线

Fig. 2 Viscosity-temperature curves of mold flux with different contents of B<sub>2</sub>O<sub>3</sub> as replacement for CaF<sub>2</sub>

由表 3 可知, 随着  $B_2O_3$  代替  $CaF_2$  质量分数的增加, 保护渣高温处的黏度不断提高, 1 300  $^{\circ}$  的黏

度值由 0.076 Pa·s 增加至 0.118 Pa·s; 黏度转折点温度不断降低, 由 1 260 ℃ 降低至 975 ℃。

## 表 3 不同 B<sub>2</sub>O<sub>3</sub> 代替 CaF<sub>2</sub> 质量分数条件下保护渣在 1 300 ℃ 的黏度以及转折点温度

Table 3 Viscosity at 1 300  $^{\circ}$ C and breaking temperature of mold flux with different contents of  $B_2O_3$  as replacement for  $CaF_2$ 

序号	1 300 ℃黏度/(Pa·s)	转折点温度/℃
S1	0.076	1 260
S2	0.102	1 004
S3	0.118	975

高温下熔渣表观黏度的变化与其内部熔体结构密切相关。上述变化中,保护渣黏度增加,其原因如下:在本研究渣系条件下,当 F 含量较高时,F 优先取代 [AlO<sub>4</sub>]<sup>5-</sup>四面体中桥氧,形成 Al-O-F 四面体结构单元,渣中桥氧数减少,非桥氧数增多;而且 [AlO<sub>4</sub>]<sup>5-</sup>四面体中的非桥氧同样可被 F 取代,形成 [AlO<sub>x</sub>F<sub>4-x</sub>]<sup>-1-x</sup> 络合物,导致体系复杂程度降低<sup>[10]</sup>。此外,F同样可解离复杂的 Al-O-Si 结构单元,进而降

低熔渣聚合程度[11]。因此,随着渣中 CaF2含量的降 低,保护渣黏度有所提高。另一方面,渣中 B<sub>2</sub>O,含 量增加, B<sub>2</sub>O<sub>3</sub> 可形成 [BO<sub>4</sub>]<sup>5-</sup>四面体结构, 增加熔渣 网络结构的复杂度,使黏度增加[12]。本研究渣系所 涉及的反应如式(1)~(3)所示。

$$[AlO_4]^{5-} + XF^- \rightarrow [AlO_x F_{4-x}]^{-1-x}$$
 (1)

$$Al - O - Si + F^{-} \rightarrow Al - F + Si - O -$$
 (2)

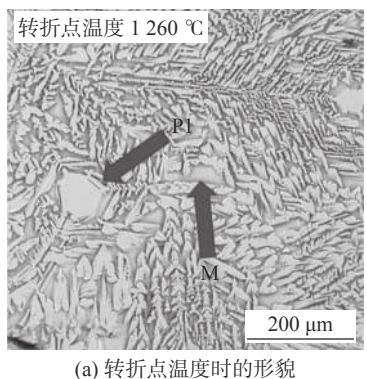
$$[BO_3]^{3-} + 2Al - O^- \rightarrow [BO_4]^{5-} + Al - O - Al$$
 (3)

保护渣转折点温度的降低,一方面与以 B,O,代 替 CaF, 时保护渣熔化温度的降低有关; 另一方面, 与保护渣析晶性能的变化密切相关,该部分将结合

后续结晶性能变化进行分析。

2.3 助熔剂含量对高铝钢保护渣凝固结晶特性的 影响

图 3a、b 为 S1 渣在转折点温度及充分析晶(5 Pa·s) 时淬冷渣样的扫描电镜形貌,相关物相的 EDS 分析 结果如表 4 所示, XRD 分析结果如图 3c 所示。分 析表明, 当 w(B<sub>2</sub>O<sub>3</sub>) =5%, w(CaF<sub>2</sub>) =23% 时, 在转折 点温度(1260 ℃)下渣中便析出了大量鳞片状的 P1 相, 当温度降至 1 207 ℃ 时(黏度为 5 Pa·s), P1 相的 析出量明显增多,尺寸较大。经 EDS 和 XRD 分析, 确定 P1 相为 Ca<sub>12</sub>Al<sub>14</sub>O<sub>32</sub>F<sub>2</sub>, M 相为残余液相。



200 μm

-S1 渣 5 Pa·s (1 207 ℃) 1200 Ca<sub>12</sub>Al<sub>14</sub>O<sub>32</sub>F<sub>2</sub> 1000 800 600 400 200 20 30 2θ/(°) (c) XRD 谱

5 Pa·s, 1 207 ℃

(b) 充分析晶 (5 Pa·s) 时的形貌

P1: Ca<sub>1</sub>,Al<sub>14</sub>O<sub>3</sub>,F<sub>2</sub>; M: 液相

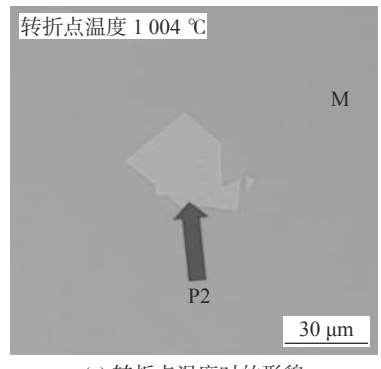
图 3 S1 渣在不同温度下淬冷渣样的扫描电镜形貌以及充分析晶 (5 Pa·s) 下淬冷渣样的 XRD 图谱 Fig. 3 SEM images of S1 mold flux quenched at different temperatures, and XRD patterns of S1 mold flux quenched at full crystallization (5 Pa·s)

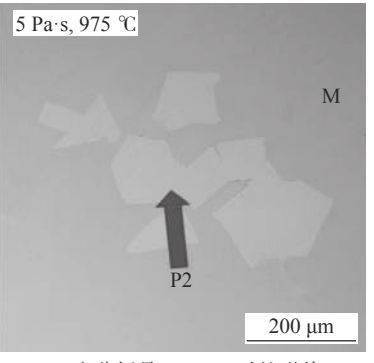
表 4 S1 渣在不同温度下淬冷渣样相关物相的能谱分析 Table 4 EDS analysis of S1 mold flux quenched at different temperatures

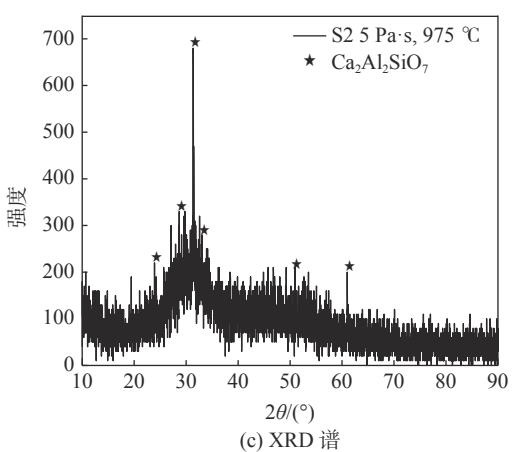
淬冷温度/℃	<i>₩</i> m <b>+</b> □	摩尔分数/%						
	物相	Ca	Al	Si	Na	F	О	
1.260	P1	20.53	27.05			5.22	47.20	
1 260	M	25.20	3.83	5.25	2.56	18.25	49.07	
1 207	P1	19.73	26.67			4.53	49.07	
1 207	M	21.59	8.01	4.76	2.45	18.76	44.43	

图 4a、b 为 S2 渣在转折点温度及充分析晶 (5 Pa·s)时淬冷渣样的扫描电镜形貌,相关物相的 EDS 分析结果如表 5 所示, XRD 分析结果如图 4c 所示。分析表明, 当  $w(B_2O_3) = 10\%$ ,  $w(CaF_2) = 18\%$ 时, 在转折点温度(1004 ℃)下渣中仅析出了少量不 规则的块状 P2 相, 当温度降至 975 ℃ 时(黏度为 5 Pa·s), P2 相的析出量明显增多且尺寸较大。经 EDS 和 XRD 分析, 确定 P2 相为 2CaO·Al<sub>2</sub>O<sub>3</sub>·SiO<sub>2</sub>, M 相为残余液相。

图 5a、b为 S3 渣在转折点温度及充分析晶 (5 Pa·s)时淬冷渣样的扫描电镜形貌,相关物相的 EDS 分析结果如表 6 所示, XRD 分析结果如图 5c 所示。分析表明, 当 w(B<sub>2</sub>O<sub>3</sub>) =15%, w(CaF<sub>2</sub>) =13% 时,在转折点温度和黏度 5 Pa·s 时,保护渣均保持单 一液相,无物相析出。







(a) 转折点温度时的形貌

(b) 充分析晶 (5 Pa·s) 时的形貌

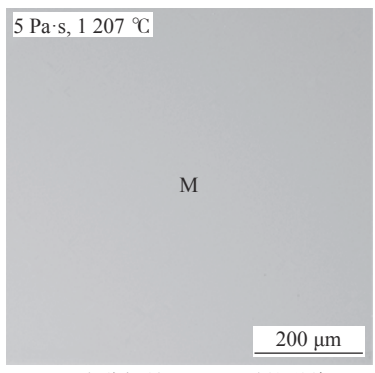
P2: 2CaO·Al<sub>2</sub>O<sub>3</sub>·SiO<sub>2</sub>; M: 液相

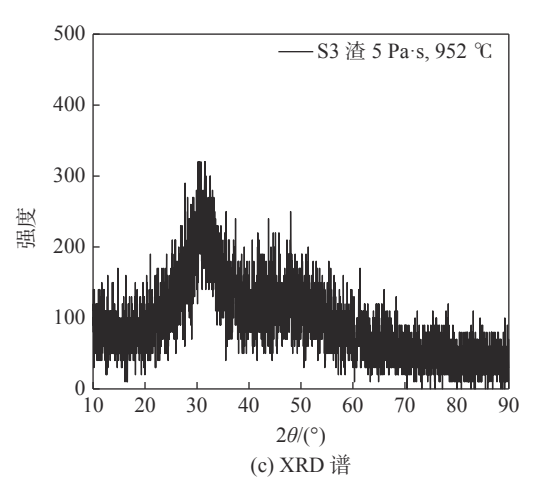
图 4 S2 渣在不同温度下淬冷渣样的扫描电镜形貌以及在充分析晶 (5 Pa·s) 下淬冷渣样的 XRD 分析图谱 Fig. 4 SEM images of S2 mold flux quenched at different temperatures, and XRD patterns of S2 mold flux quenched at full crytallization (5 Pa·s)

表 5 S2 渣在不同温度下淬冷渣样相关物相的能谱分析 Table 5 EDS analysis of S2 mold flux quenched at different temperatures

************************************	<i>₩</i>	摩尔分数/%						
淬冷温度/℃	物相 -	Ca	Al	Si	Na	F	О	
1.004	P2	17.46	22.04	6.98			53.51	
1 004	M	19.25	13.74	3.70	2.51	9.72	51.08	
075	P2	18.49	23.28	7.08			51.14	
975	M	19.69	13.69	3.64	2.09	10.42	50.49	







(a) 转折点温度时的形貌 (b) 充分析晶 (5 Pa·s) 时的形貌

图 5 S3 渣在不同温度下淬冷渣样的扫描电镜图片以及在充分析晶 (5 Pa·s) 下淬冷渣样的 XRD 分析图谱 Fig. 5 SEM images of S3 mold flux quenched at different temperatures,and XRD patterns of S3 mold flux quenched at full crytallization (5 Pa·s)

表 6 S3 渣在不同温度下淬冷渣样相关物相的能谱分析 Table 6 EDS analysis of S3 mold flux quenched at different temperatures

淬冷温度/℃	物相	摩尔分数/%						
<b>伴传通及/</b> C		Ca	Al	Si	Na	F	О	
975	M	17.51	14.23	3.16	3.26	6.74	55.10	
952	M	17.93	14.43	3.30	2.81	7.02	54.51	

综合上述结果, 随着  $B_2O_3$  取代  $CaF_2$  质量分数的增加, 保护渣的析晶能力逐渐减弱, 转折点温度和黏度 5  $Pa \cdot s$  时析晶物相的变化规律均为:  $Ca_{12}Al_{14}O_{32}F_2 \rightarrow 2CaO \cdot Al_2O_3 \cdot SiO_2 \rightarrow \dot{\Psi}$ 一液相。

结合析晶物相变化规律,可进一步分析保护渣转折点温度的变化规律。如图 6 所示,等质量分数的 B<sub>2</sub>O<sub>3</sub> 代替 CaF<sub>2</sub> 条件下保护渣在黏度及转折点温度变化的原因各有不同, S1 渣黏度的变化主要由Ca<sub>12</sub>Al<sub>14</sub>O<sub>32</sub>F<sub>2</sub> 的析出所致, S2 渣黏度的变化主要由2CaO·Al<sub>2</sub>O<sub>3</sub>·SiO<sub>2</sub> 的析出所致, S3 渣渣中无结晶物相析出,黏度变化与温度降低所致的熔渣聚合度升高有关。随着 B<sub>2</sub>O<sub>3</sub> 代替 CaF<sub>2</sub> 质量分数的增加,保护渣的析晶能力明显减弱,从而导致保护渣的转折点温度降低。结合黏度变化规律可知,随着渣中CaF<sub>2</sub> 含量降低和 B<sub>2</sub>O<sub>3</sub> 含量增加,保护渣黏度有所升高,离子扩散收到抑制,进而导致结晶趋势减弱;此外, B<sub>2</sub>O<sub>3</sub> 含量增加可大幅度降低保护渣的熔化温度,在相同温度下,熔渣过热度提高,晶格重组困难,从而使得结晶相的析出受到抑制。

## 3 结论

在新型高铝钢用  $CaO-Al_2O_3$  基连铸保护渣中,利用  $B_2O_3$  替代  $CaF_2$ ,当  $CaF_2$  质量分数由 23%降至 13%、 $B_2O_3$  质量分数由 5%增加至 15%时:

- 1) 保护渣的熔化温度由 1 200 ℃ 降至 956 ℃, 等质量 CaF<sub>2</sub> 在 CaO-Al<sub>2</sub>O<sub>3</sub> 基保护渣中降低熔点的 作用明显弱于 B<sub>2</sub>O<sub>3</sub>。
- 2) 保护渣的黏度逐渐提高, 1300 ℃ 的黏度值从 0.076 Pa·s 提高至 0.118 Pa·s。其原因为, 随着  $B_2O_3$  替代  $CaF_2$  质量分数的提高, F 对熔渣网络结构的解聚程度降低; 而且, 随着  $B_2O_3$  含量的增加, 渣中可形成  $[BO_4]$  四面体网络结构, 增加网络复杂程度,

进而使得黏度提高。

3) 保护渣的析晶性能受到抑制, 玻璃性提高。 其原因为, 随着  $CaF_2$  含量降低和  $B_2O_3$  含量增加, 保护渣的黏度有所升高, 离子扩散受到抑制, 进而导致结晶趋势减弱; 而且,  $B_2O_3$  含量增加可大幅度降低保护渣的熔化温度, 在相同温度下, 熔渣过热度提高, 晶格重组困难, 从而使得结晶物相的析出受到抑制。随着  $B_2O_3$  取代  $CaF_2$  质量分数的增加, 保护渣析晶物相的变化规律为:  $Ca_{12}Al_{14}O_{32}F_2 \rightarrow 2CaO\cdot Al_2O_3\cdot SiO_2 \rightarrow$  单一液相。当  $B_2O_3$  取代  $CaF_2$  质量分数为 10% 时, 保护渣的析晶性能得到有效抑制, 可有效降低粘结报警频率, 满足高铝钢种的浇铸需求。

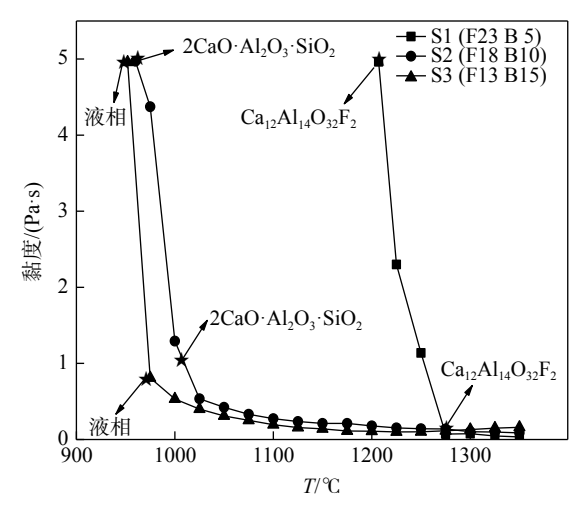


图 6 不同 B<sub>2</sub>O<sub>3</sub> 代替 CaF<sub>2</sub> 质量分数条件下保护渣结晶物 相的析出情况

Fig. 6 Crystallization of different phases for mold flux with different contents of B<sub>2</sub>O<sub>3</sub> as replacement for CaF<sub>2</sub>

## 致谢

感谢国家自然科学基金项目(U1908224,51904064,51874082)和中国博士后科学基金项目(2020T130084,2019M661114)对本研究的大力支持。

#### 参考文献

- [1] Ma Mingtu, Zhang Yisheng, Song Leifeng, *et al.* Research progress of hot stamping forming of ultra-high strength steel[J]. New Material Industry, 2015, (9): 61–67.
  - (马鸣图, 张宜生, 宋雷峰, 等. 超高强度钢热冲压成型研究进展[J]. 新材料产业, 2015, (9): 61-67.)
- [2] Xu Jinzhong, Han Yihua, Bi Yanxue, *et al.* Study on the dissolution behavior of Al<sub>2</sub>O<sub>3</sub> by CaO-Al<sub>2</sub>O<sub>3</sub> based continuous casting mold flux[J]. Iron Steel Vanadium Titanium, 2018, 39(2): 127–131.

  (许进忠, 韩毅华, 毕延雪, 等. CaO-Al<sub>2</sub>O<sub>3</sub>基连铸保护渣对Al<sub>2</sub>O<sub>3</sub>溶解行为的研究[J]. 钢铁钒钛, 2018, 39(2): 127–131.)
- [3] Wang Huan, Tang Ping, Wen Guanghua, *et al.* Research on non-reactive continuous casting mold flux for high aluminum steel[J]. Iron Steel Vanadium Titanium, 2010, 31(3); 20–24. (王欢, 唐萍, 文光华, 等. 高铝钢非反应性连铸保护渣的研究[J]. 钢铁钒钛, 2010, 31(3); 20–24.)

- [4] Yu Xiong, Wen Guanghua, Tang Ping, *et al.* The effect of F on the physical and chemical properties of high-aluminum steel continuous casting mold flux[J]. Chinese Journal of Process Engineering, 2010, 10(6): 1153–1157. (于雄,文光华, 唐萍,等. F对高铝钢连铸保护渣理化性能的影响[J]. 过程工程学报, 2010, 10(6): 1153–1157.)
- [5] Yang J, Zhang J, Ostrovski O, *et al.* Effects of fluorine on solidification, viscosity, structure, and heat transfer of CaO-Al<sub>2</sub>O<sub>3</sub>-based mold fluxes[J]. Metall Mater Trans. B, 2019, 50: 1766–1772.
- [6] Qi J, Liu C J, Jiang M F. Viscosity-structure-crystallization of the Ce<sub>2</sub>O<sub>3</sub>-bearing calcium-aluminate-based melts with different contents of B<sub>2</sub>O<sub>3</sub>[J]. ISIJ International, 2018, 58(1): 186–193.
- [7] Zhang L, Wang W, Xie S, *et al.* Effect of basicity and B<sub>2</sub>O<sub>3</sub> on the viscosity and structure of fluorine-free mold flux[J]. Journal of Non-Crystalline Solids, 2017, 460: 113–118.
- [8] Wang Xingjuan, Wu Binbin, Zhu Liguang, *et al.* Research on rheological characteristics of fluorine-free continuous casting mold fluxes[J]. Iron Steel Vanadium Titanium, 2017, 38(4): 135–139.

  (王杏娟, 武宾宾, 朱立光, 等. 无氟连铸保护渣流变特性的研究[J]. 钢铁钒钛, 2017, 38(4): 135–139.)
- [9] Yan W, Chen W Q, Yang Y D, *et al.* Evaluation of B<sub>2</sub>O<sub>3</sub> as replacement for CaF<sub>2</sub> in CaO-Al<sub>2</sub>O<sub>3</sub> based mould flux[J]. Ironmaking & Steelmaking, 2016, 43(4): 316–323.
- [10] Zeng Q, Stebbins J F. Fluoride sites in aluminosilicate glasses: high-resolution <sup>19</sup>F NMR results[J]. American Mineralogist, 2000, 85(5-6): 863–867.
- [11] Wang X, Jin H, Zhu L, *et al*. Effect of CaF<sub>2</sub> on the viscosity and microstructure of CaO–SiO<sub>2</sub>–Al<sub>2</sub>O<sub>3</sub> based continuous casting mold flux[J]. Metals, 2019, 9(8): 871.
- [12] Sun Y Q, Zhang Z T. Structural roles of boron and silicon in the CaO-SiO<sub>2</sub>-B<sub>2</sub>O<sub>3</sub> glasses using FTIR, Raman, and NMR spectroscopy[J]. Metallurgical and Materials Transactions B, 2015, 46(4): 1549–1554.

编辑 杨冬梅

## 美国与日本东邦钛合作探索新的钛冶炼提取方法

(8月13日消息)据日本东邦钛报道,美国 Universal Achemetal Titanium(UAT)与东邦钛公司(Toho Titanium)合作,通过新的工艺技术方法,避免了在钛矿提炼反应时的碳元素加入,来解决工艺制取过程中温室气体二氧化碳的排出,探索出一种新的钛冶炼提取方法,即将带来钛原料制取技术的新突破,有望实现商业化应用。

克劳尔法(Kroll)钛金属提取法,是将粉末状钛矿(TiO<sub>2</sub>)置于熔炼炉中,注入氯气和还原剂煤焦,加热到  $1\,000\,$  °C 左右实现化学反应,来制取液态四氯化钛,反应产生大量的二氧化碳气体。这种工艺方法生产一吨金属钛会产生大约  $10\,t$  二氧碳气体,在镁还原蒸馏工序,将消耗掉大量的电能,生产一吨海绵钛大约需要消耗  $2\,$  ~3 万度电,并且蒸馏还原过程中钛金属中的杂质去除难度也非同一般,这就造成了海绵钛生产的高污染、高能耗、高成本等诸多弊端。

UAT 公司研究的钛冶炼提取新工艺技术方法,是在粉末状钛矿( $TiO_2$ )中添加氟化钙和铝,混合物在冶炼炉中发生剧烈的铝热还原反应,燃烧反应后的氧化铝和氟化钙易于分离,再采用电解法将金属钛溶入电解液中,之后在电极表面形成固态的树枝状钛金属沉积物,经水洗或真空分离得到金属钛。此方法制取的钛金属杂质含量低,比克劳尔法的去除杂质效果好。这个工艺技术流程中没有碳元素的参与,解决了生产过程中二氧化碳的大量排放,工艺方法更加环保,此工艺流程的耗电量也比克劳尔法降低 70% 左右。生产中电解沉积制取的钛金属,可真接用于制取钛粉或用作生产纤维烧结多孔薄板等。新的工艺技术有效地解决了钛金属原料制取中的高能耗、高污染,并能获得纯度更高、成本更低的钛金属原材料。

在实验室研究的基础上,2021年日本东邦钛公司为这项新的提取技术建设了中试车间,包括不同型号的大小电解沉积槽等,并在试生产试验中优化改进了电解提纯工艺,成功批量化生产出比克劳尔法纯度更高、氧含量更低的钛金属,这为新技术的商业化应用迈出成功的第一步。